

# **Тектонические нарушения**

***Ключевые слова и вопросы.***

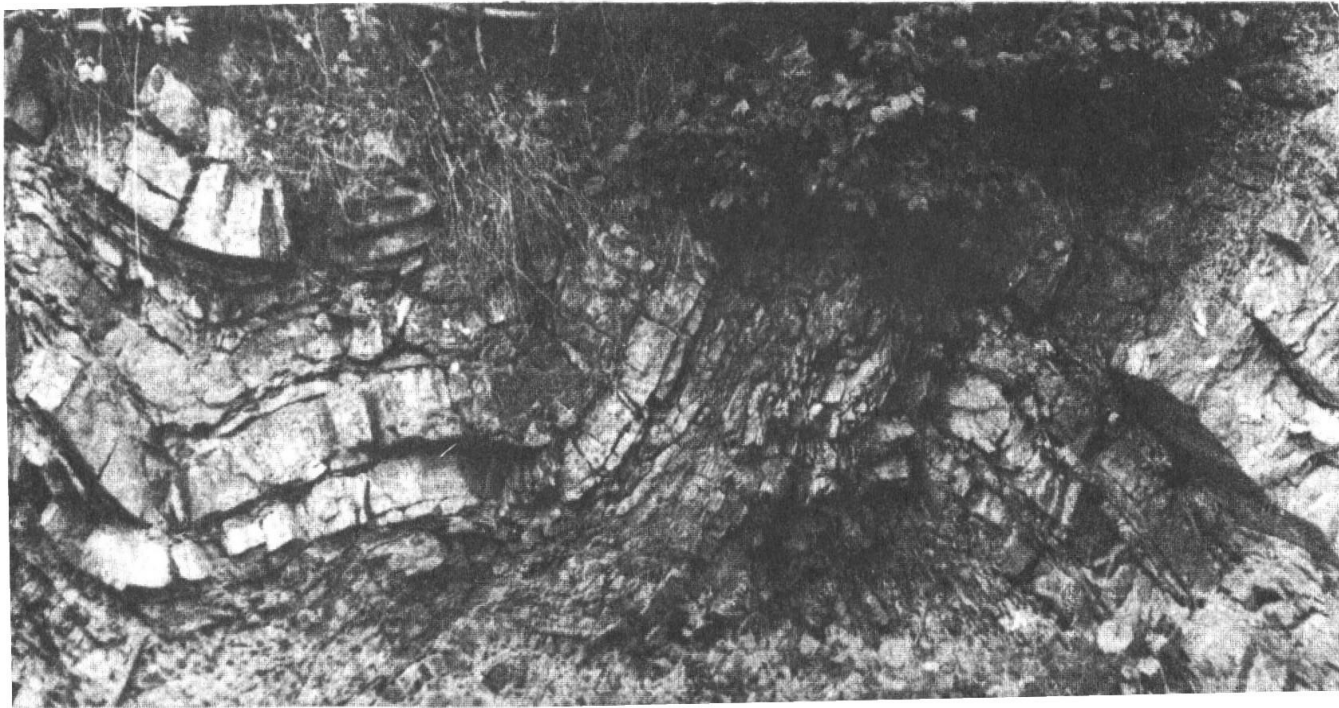
**Складчатые нарушения  
(пликативные дислокации).**

**Разрывные нарушения  
(дизъюнктивные нарушения).**

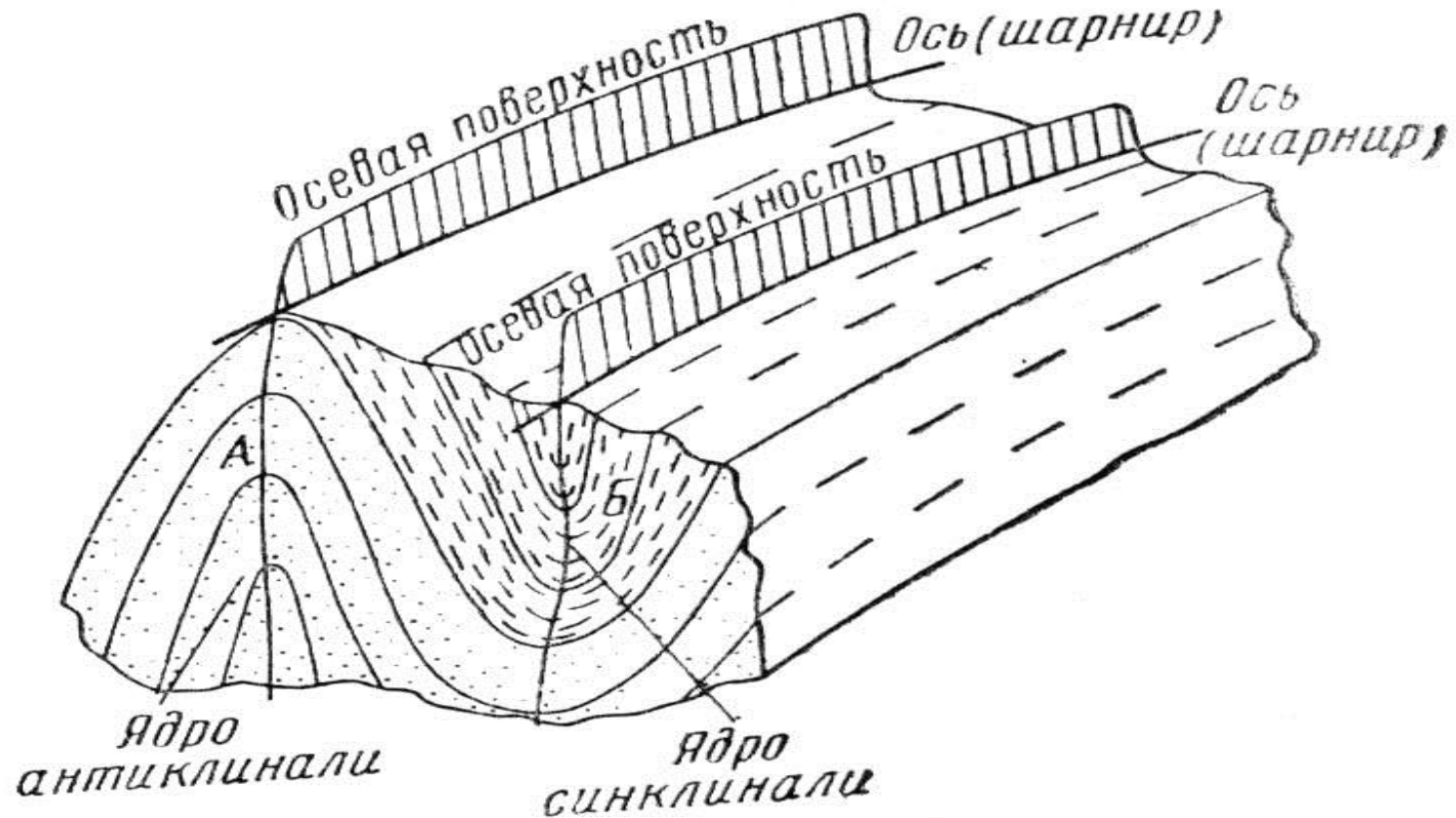
**Фото. 1. Рифейские кварциты хр. Урал-Тау на Южном Урале – типичные пологолежащие отложения платформенного чехла (из работы С.Н. Иванова).**



**Фото. 2. Смятые в складки песчаники верхнего рифея, превращенные в слюдистые кварциты. Южный Урал.**



**Рис. 6. Элементы складок (из работы Г.Д. Ажгирея).**



**Фото. 3. Антиклинальная складка углисто-глинистых сланцев нижнего карбона (С1), осложненная дизъюнктивным нарушением (в центре). Правый берег р. Томи, в двух км вверх от устья р. Басандайки. Томская обл., Томский район. Фото. Сальникова В.Н.**

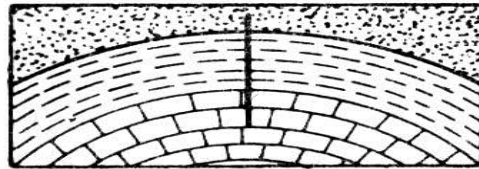


Фото. 4. Моноклираль слева обрезана дизъюнктивом. Отложения углисто-глинистых сланцев нижнего карбона. Обнажение на правом берегу реки Томи. Томская обл., Томский район. Фото.

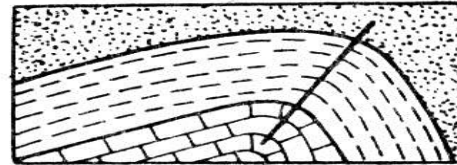
Сальникова В.Н.



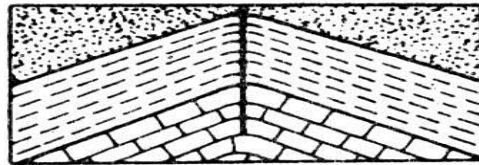
Рис. 7. Формы складок (в поперечном сечении): а – открытая пологая; б – остроугольная; в – сундучная (коробчатая); г – веерообразная; д – косая; е – флексура; ж – опрокинутая; з – лежачая (из работы Горшкова Г.П., Якушовой А.Ф.).



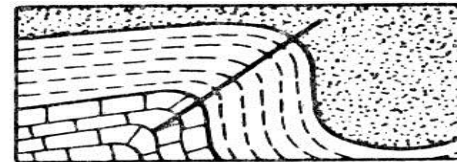
*а*



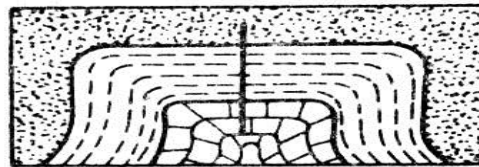
*д*



*б*



*е*



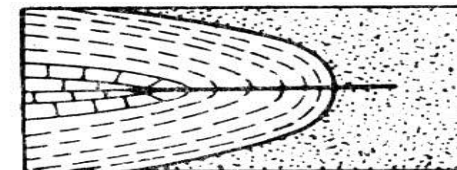
*в*



*ж*



*г*



*з*

**Рис. 9. Изометрическая складка (купол). Из работы  
Г.Д. Ажгирея, 1966.**

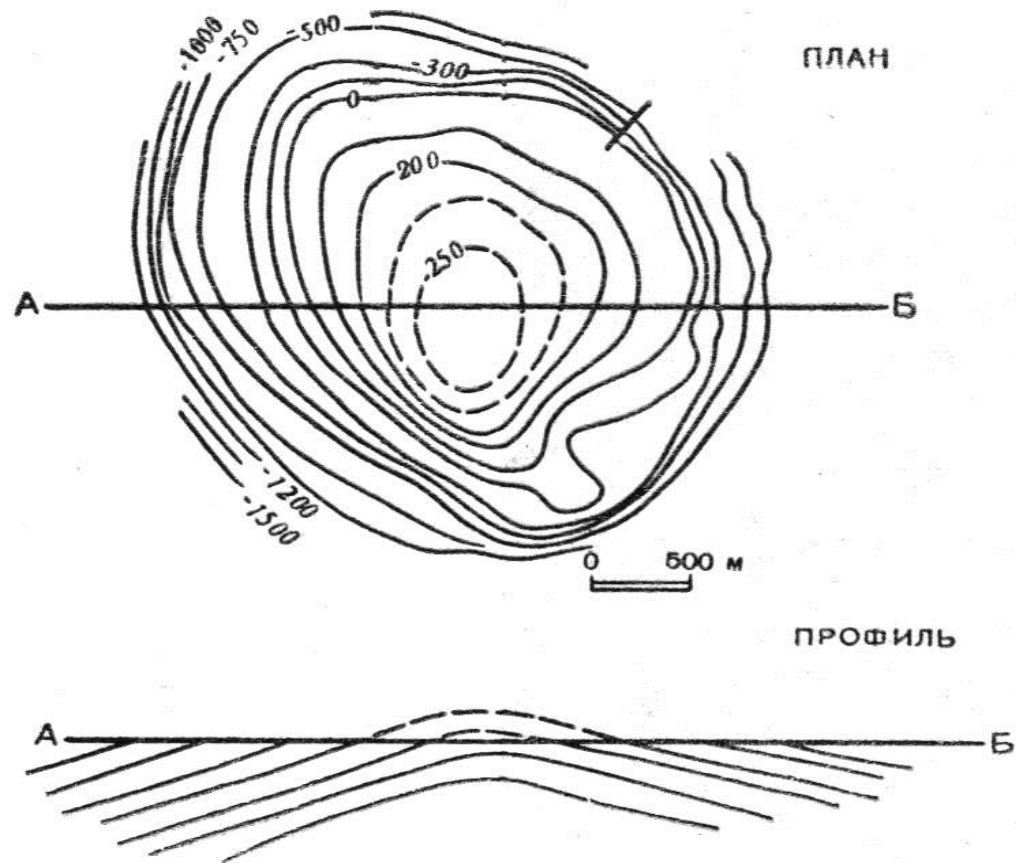




Рис. 8. Линейные (цилиндрические) складки. А – линейная складка с осью, расположенной горизонтально. Б – линейная складка с осью, наклоненной к горизонту: 1 - периклинальное окончание (в плане) погружающейся антиклинали; 2 – центриклинальное окончание (в плане) погружающейся синклинали (из работы Г.Д. Ажгирея).

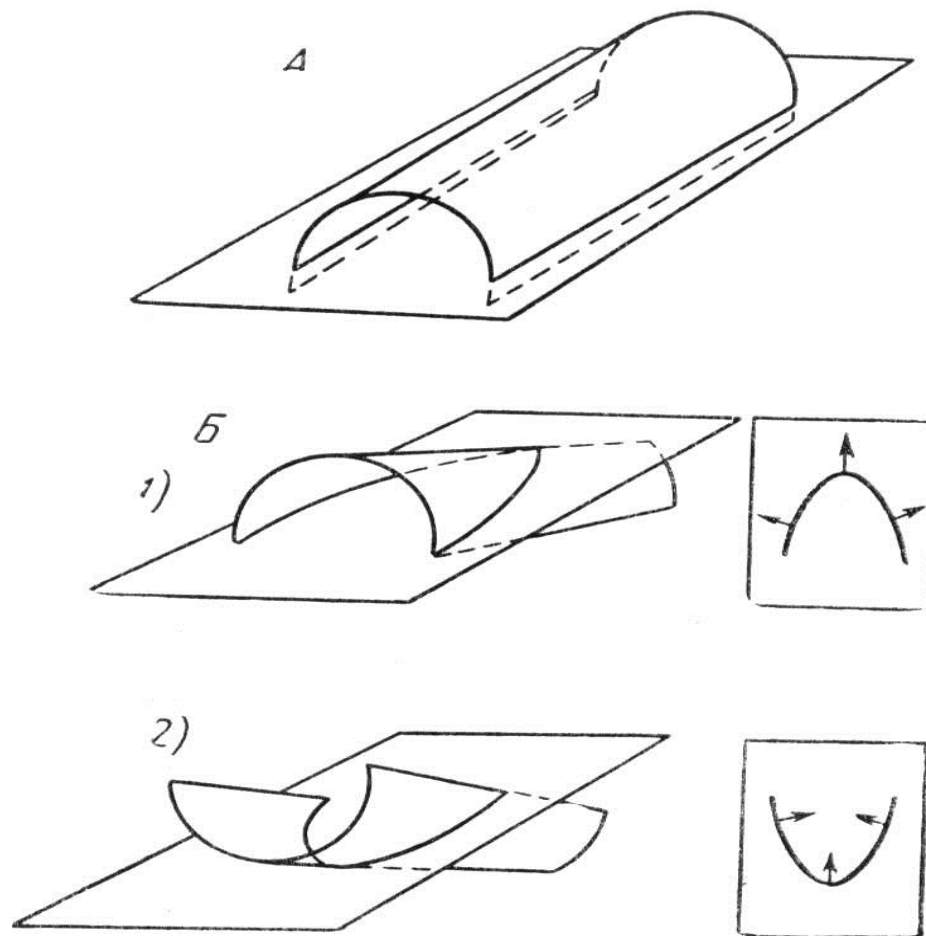
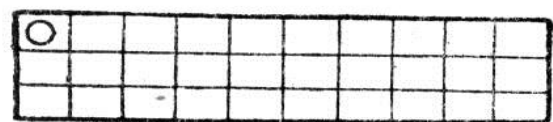


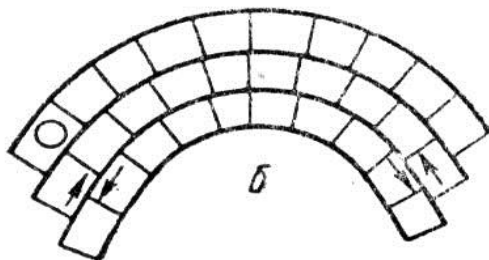
Рис. 13. Механизм изгибания пачки слоев.

Рис. 14. Складчатые микронарушения в магнетитовых кварцитах КМА протерозойского возраста (зарисовка Г.П. Горшкова; уменьшено в два раза):  
а – прослой, состоящие из зерен кварца; б – рудные прослой, состоящие из магнетита и мартита.

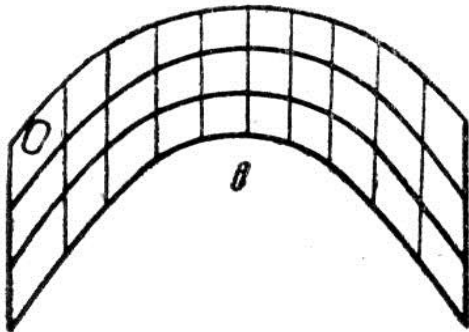
магнетита и мартита.



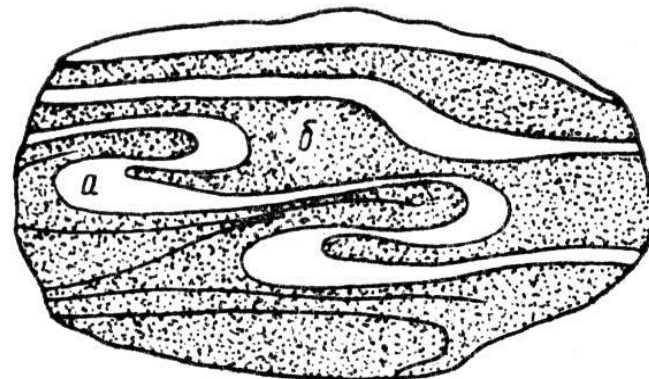
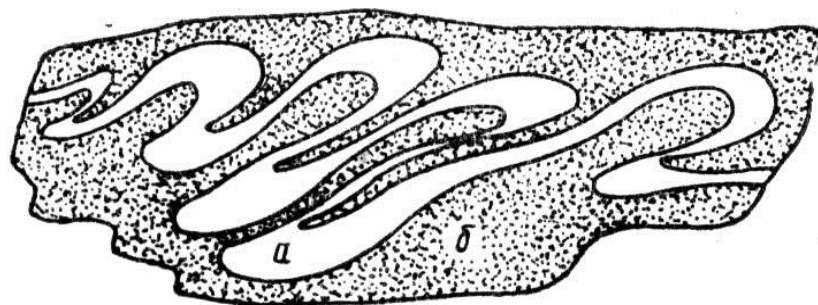
а



б



в



**Фото. 5. Дисгармоничная микроскладчатость в железистых кварцитах Курской магнитной аномалии (по А.С. Егорову).**



**Рис. 15. Различные формы соляных куполов: 1 – каменная соль; 2 – покрывающие соль осадочные породы (из работы Горшкова Г.П., Якушовой А.Ф.).**

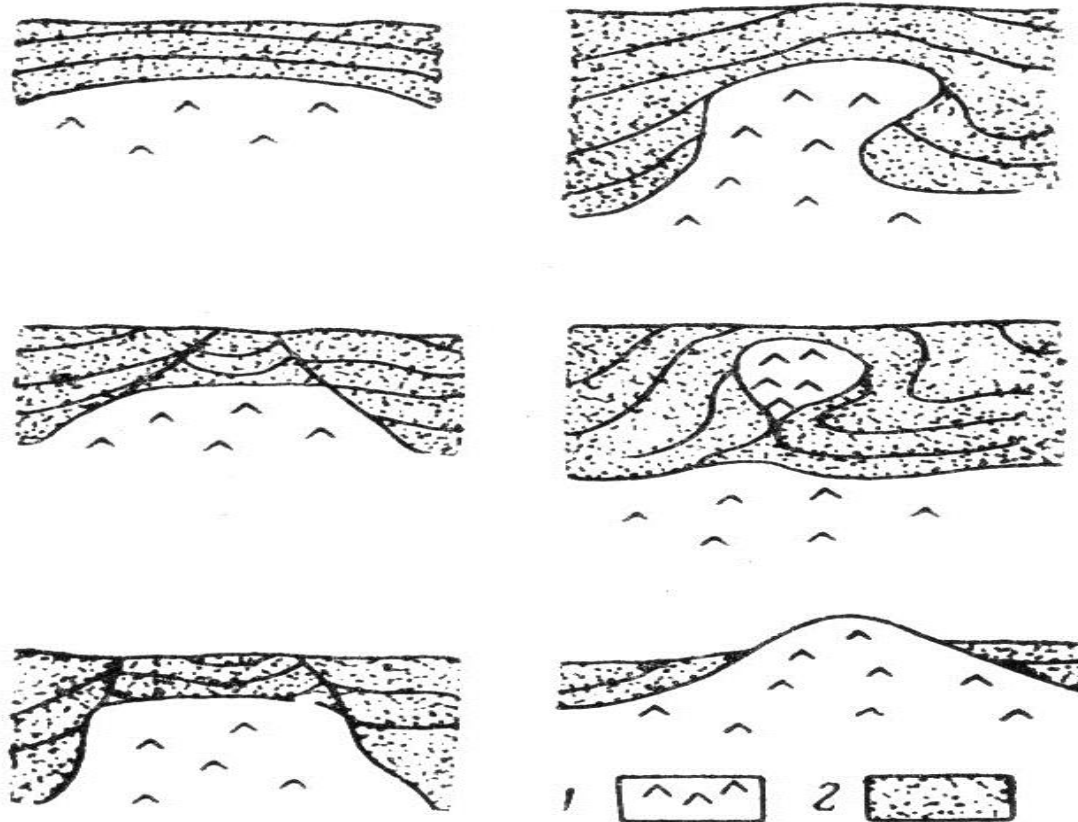
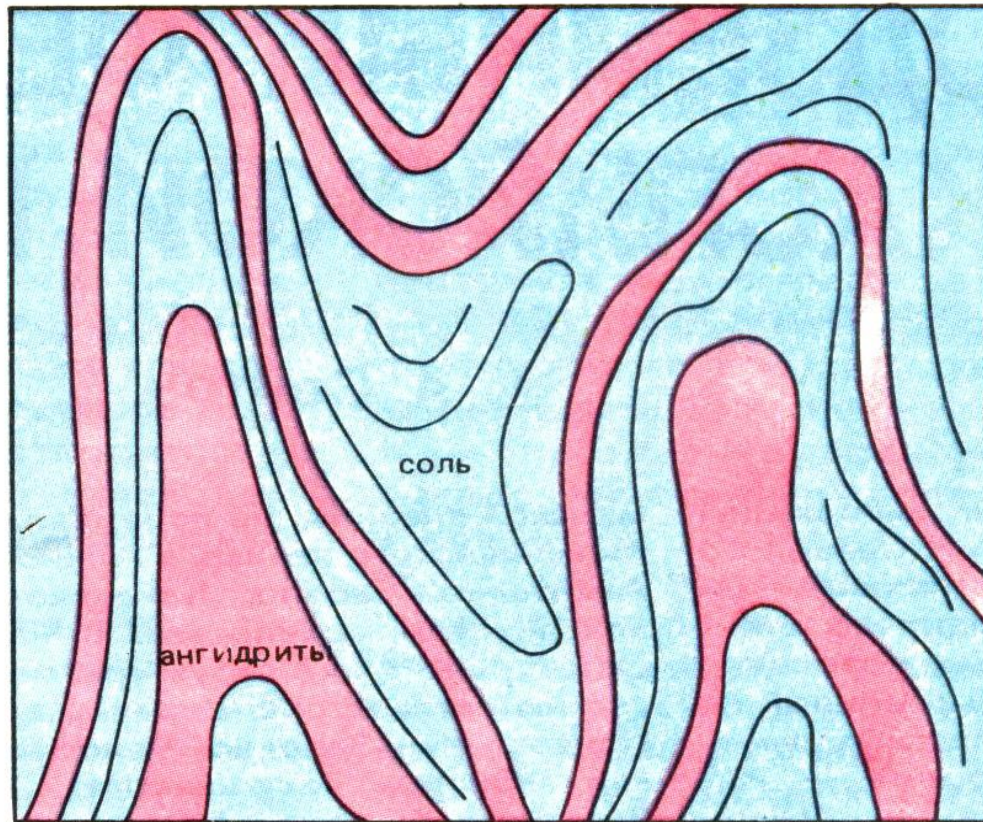
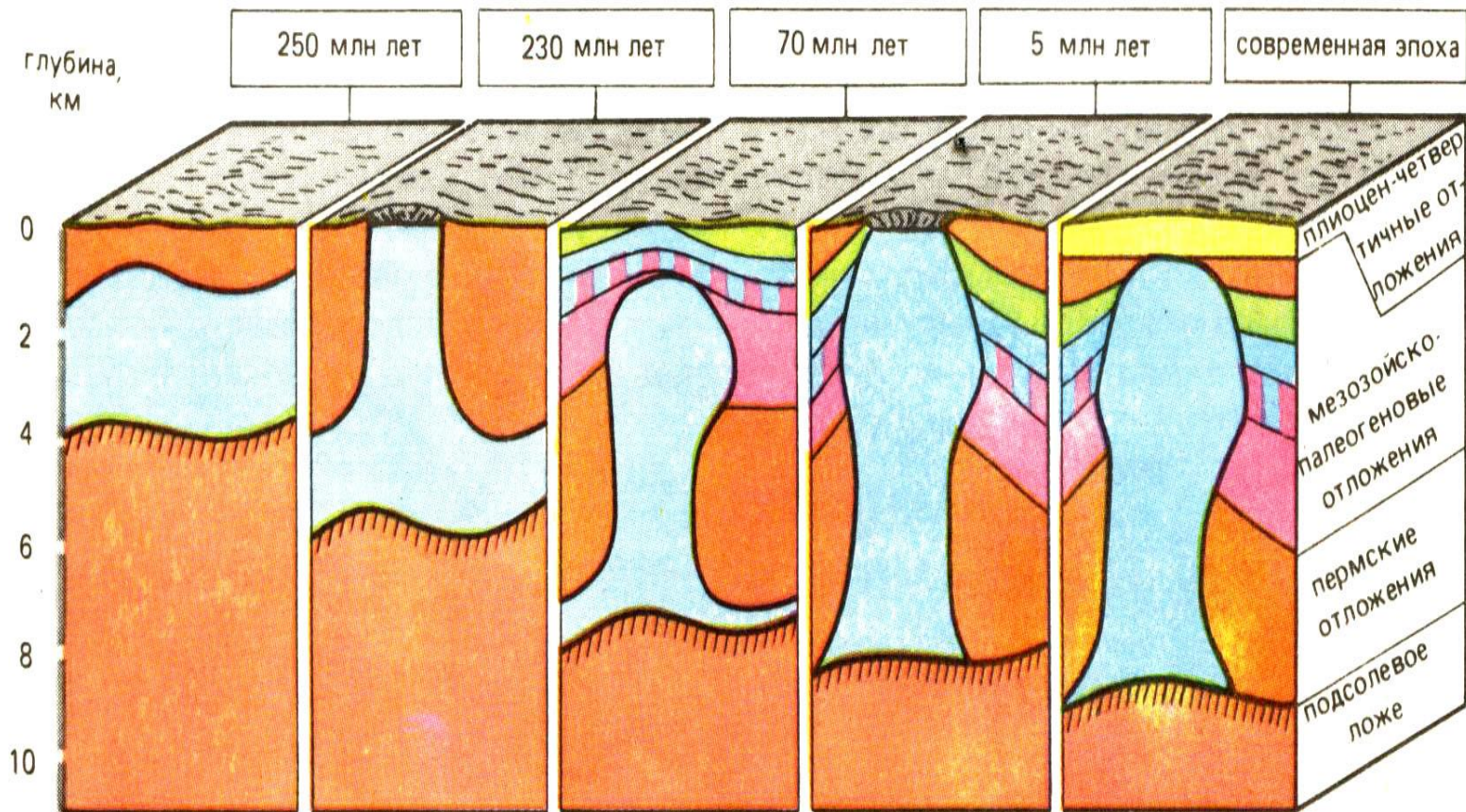


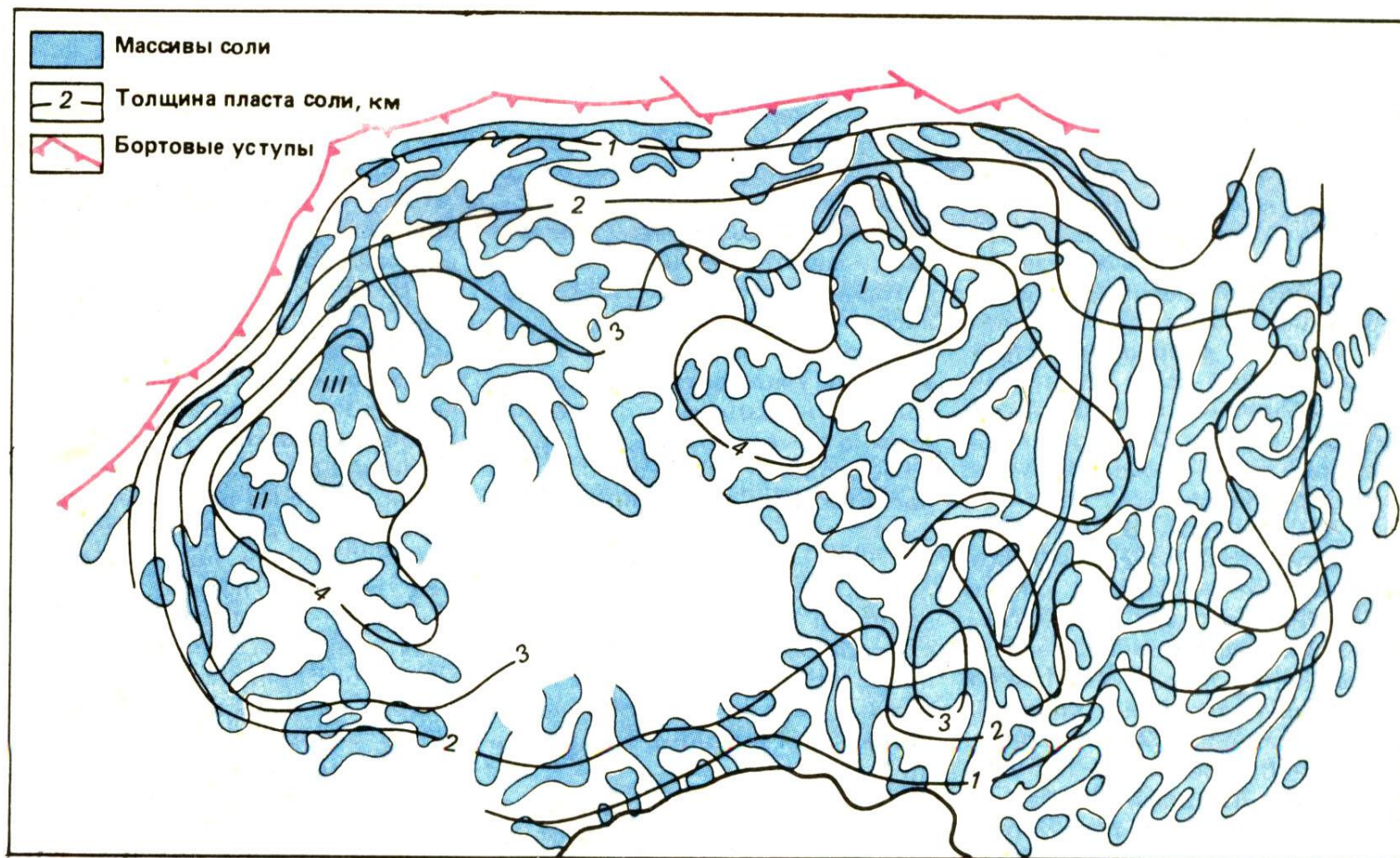
Рис. 17. Характер пластических деформаций соли в ядре купола. Первоначально горизонтальные слои соли в результате её течения превращаются в вертикальные складки. Зарисовка в шахте Соль-Илецкого купола (из работы А.А. Свиточ).



# Рис. 18. Схема развития соляного купола. Зарождение куполов Прикаспийской впадины началось около 250 млн. лет назад.



**Рис. 19. Скопления каменной соли в Прикаспийской впадине.  
В плане соляные купола имеют различную конфигурацию.**



**Фото. 6. Несогласный контакт между слоистыми толщами кварцито-песчаников ордовика (вверху) и сланцами рифея (внизу).**





Рис. 20. Примеры несогласий различных типов (по А.А. Богданову): а - параллельное несогласие; б - скрытое несогласие; в - угловое несогласие; г - параллельное прилегание; д - несогласное прилегание.

